

مطالعه آسیب‌شناسی بافتی تأثیر ویروس آنفلوآنزای تحت تیپ H9N2 در دستگاه تنفسی جوجه‌های SPF

یوسف دوستار^{۱*}، داریوش مهاجری^۲، عادل فیضی^۳

چکیده

ویروس آنفلوآنزا موجب آسیب‌های هیستوپاتولوژیک در حیوانات و انسان می‌گردد. هدف از مطالعه حاضر، ارزیابی آسیب‌شناسی بافتی دستگاه تنفسی جوجه‌های عفونی شده با ویروس آنفلوآنزای تحت تیپ H9N2 (A/chicken/ Iran/ 772/2000) طیور می‌باشد. برای انجام این مطالعه، تعداد ۲۰ قطعه جوجه SPF^۴ نر با سن ۳ هفته به طور تصادفی در دو گروه مساوی توزیع گردیدند. گروه تیمار توسط ویروس آنفلوآنزا با دوز EID₅₀^{۷/۵} و گروه شاهد توسط سرم نمکی نرمال با حجمی برابر و به روش قطره بینی هم‌زمان مورد تلقیح قرار گرفتند. ۷۲ ساعت پس از چالش جوجه‌ها با ویروس آنفلوآنزا، از بافت نای و ریه آن‌ها نمونه برداری و در محلول فرمالین بافری ۱۰ درصد پایدار گردیدند. از نمونه‌های پایدار شده در فرمالین، طبق روش‌های معمول تهیه مقاطع آسیب‌شناسی، برش‌هایی با ضخامت ۵ میکرون تهیه و با هماتوکسیلین و ائوزین رنگ آمیزی شدند. در مقایسه با گروه شاهد، تغییرات پاتولوژیک ایجاد شده در گروه تیمار در اثر ویروس آنفلوآنزای تحت تیپ H9N2 معنی دار بود ($P < 0.005$). این مطالعه نشان داد که ویروس آنفلوآنزای تحت تیپ H9N2 توانائی القاء آسیب‌های شدید بافتی در دستگاه تنفسی جوجه‌ها را دارد می‌باشد.

واژگان کلیدی:

ویروس آنفلوآنزای تحت تیپ H9N2، دستگاه تنفسی طیور، آسیب‌شناسی بافتی

مقدمه

عامل ایجاد کننده بیماری شناخته گردید که بعدها به علت تلفات زیاد با انواع قبلی، طاعون مرغی نامیده شد. اهمیت ویروس‌های آنفلوآنزا به عنوان یک پاتوژن با گستردگی جهانی در انسان‌ها، حیوانات خانگی و مکیان به خوبی شناخته شده است و گاهی اوقات همه‌گیری در بین انسان‌ها ایجاد شده است. ویروس‌های آنفلوآنزای پرنده‌گان جزء اعضای خانواده

بیماری آنفلوآنزا به عنوان یک بیماری ویروسی از سال ۱۹۰۱ میلادی شناخته شده است. در سال ۱۹۵۵ میلادی شکل خاصی از ویروس آنفلوآنزا به عنوان

- گروه پاتولوژی دانشکده دامپزشکی دانشگاه آزاد اسلامی واحد تبریز
- گروه بیماریهای طیور دانشکده دامپزشکی دانشگاه آزاد اسلامی واحد تبریز

*-نویسنده مسئول vetdoustar@yahoo.com

برخی تحت تیپ‌های بیماری‌زا در جمعیت انسانی به صورت یک بیماری مشترک، نیاز است تا هر چه بهتر پاتوژن‌زیر بعضی از تحت تیپ‌های ویروسی نظری تحت تیپ H9N2 از نظر آسیب‌های بافتی مورد ارزیابی قرار گیرند. امروزه مطالعات پایه‌ای می‌توانند راه‌گشایی بسیار موثری در مشخص شدن پاتوژن‌زیر بیماری‌ها باشند. بنابراین در این بررسی سعی بر این است که نوع و شدت آسیب‌های بافتی دستگاه تنفسی جوجه‌های H9N2 عفونی شده با ویروس آنفلوانزا تحت تیپ 2 (A/chicken/Iran/772/2000) طیور، به‌طور تجربی مورد ارزیابی قرار گیرد تا با شناخت ضایعات حاصله و ارائه راه‌های پیش‌گیری کننده و درمانی مناسب از وارد آمدن تلفات و خسارات مالی و جانی در جوامع بشری جلوگیری شود.

مواد و روش‌کار

در این مطالعه ویروس آنفلوانزا طیور تحت تیپ H9N2 (تهیه شده از مرکز تحقیقات و سرم سازی رازی حصارک کرج) (A/chicken/Iran/772/2000) که برای ۲ بار در تخم‌مرغ‌های جنین‌دار کلون شده بود، به جوجه‌های Valo Lohman, Germany (SPF) در سن ۳ هفتگی به روش قطره بینی تلقیح گردید. ابتدا جوجه‌های SPF به دو گروه ۱۰ تایی تقسیم گردید که یک گروه به عنوان گروه تیمار و گروه دیگر شاهد در نظر گرفته شد. سپس گروه تیمار به روش قطره بینی با ویروس آنفلوانزا تحت تیپ H9N2 با دز EID₅₀ ۱۰^{۷/۵} عفونی گردید. گروه شاهد نیز برابر حجم محلول تلقیحی ویروس، با همان روش و به‌طور همزمان سرم نمکی نرمال استریل دریافت نمود. سه روز پس از تلقیح، جوجه‌های مورد نظر (گروه تیمار و گروه شاهد) کالبدگشایی و از نای و ریه آن‌ها نمونه‌برداری به عمل آمد. نمونه‌های مورد نظر در داخل فرمالین بافری ۱۰ درصد جهت تهیه مقاطع آسیب‌شناسی بافتی به آزمایشگاه پاتولوژی دانشکده دامپزشکی تبریز ارسال

ارتومیکسوویریده^۱ هستند و به جنس A تعلق دارند. از سال ۱۹۹۴ میلادی تحت تیپ 2 H9N2 ویروس A آنفلوانزا باعث طغیان بیماری در ماکیان با مرگ و میر زیاد در کشورهای کره و چین شده است و از سال ۲۰۰۱ تا ۲۰۰۲ میلادی ویروس‌های H9N2 به طور شایع در گوشت و مغز استخوان جوجه‌های وارد شده از چین در مرکز قرنطینه حیوانات یوکوهاما در ژاپن شناسایی شده است، به طوری که در مارس ۱۹۹۹ میلادی دو مورد از جدایه‌های ویروس آنفلوانزا از دختران یک تا چهار ساله در هنگ‌کنگ که از بیماری شبیه آنفلوانزا بهبود یافته بودند، به دست آمد و در همین راستا پنج مورد ویروس H9N2 از انسان‌ها در آگوست سال ۱۹۹۸ به دست آمده بود (۲).

تشدید بیماری‌زایی تحت تیپ 2 H9N2 ویروس A آنفلوانزا جدا شده از جوجه‌های بیمار در چین توسط عفونت هم‌زمان با باکتری‌هایی نظری استافیلکوک طلایی و هموفیلوس پارا گالیناروم به اثبات رسیده است (۱۰). آگاهی از اینکه چگونه ویروس‌های آنفلوانزا در سطوح مولکولی با سلول‌های میزان وارد کنش و عمل می‌شوند و این که چگونه و از چه مکانیسم‌ها و راه‌هایی آسیب بافتی را در سلول‌های میزان القاء می‌کنند، درک در مورد روند و نحوه بیماری‌زایی ویروس را آسانتر کرده و یافتن راه‌کارهای مناسب در برخورد با این بیماری را سهل‌تر نموده است. ویروس آنفلوانزا در ارگان‌های مختلف موجب تغییرات آسیب بافتی می‌گردد که یکی از این ارگان‌ها دستگاه تنفس می‌باشد. از این‌رو بررسی آسیب‌شناسی بافتی متعاقب تلقیح ویروس آنفلوانزا تحت تیپ 2 H9N2 یکی از اهداف این مطالعه بوده است که انجام آن می‌تواند در جهت شناخت جنبه‌هایی از پاتوژن‌زیر بیماری آنفلوانزا بسیار مفید واقع گردد. با توجه به اهمیت بیماری آنفلوانزا و گسترش روزافزون بیماری در بین جمعیت‌های دامی و همچنین به دلیل خطر گسترش

1 Orthomyxoviridae

نظیر پرخونی، ادم، ارتاشاج سلول‌های آماسی، خونریزی، نکروز، آپوپتوز، از بین رفتن مژه‌های تنفسی، تشکیل ندول‌های غضروفی و انفصالت بافت پوششی تنفسی، طبق جدول ۱ درجه‌بندی گردید. برای ارزیابی وجود ارتباط بین تغییرات ایجاد شده در بافت ریه و ویروس آنفلوانزا H9N2 نیز، نرمافزار SPSS و آزمون تحلیل واریانس چند متغیره یک طرفه (MANOVA) مورد استفاده قرار گرفت.

گردیدند. نمونه‌های مورد نظر پس از گذراندن مراحل آب‌گیری، شفاف‌سازی، آغشتگی با پارافین و قالب‌گیری، با ضخامت‌های ۵ میکرونی برش داده شده و با هماتوکسیلن و ائوزین رنگ‌آمیزی شدند (۱، ۲ و ۶).

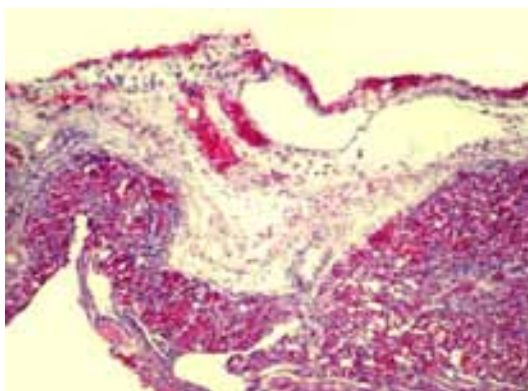
آنالیز آماری داده‌ها

به منظور تحلیل آسیب بافتی ایجاد شده در دستگاه تنفسی جوجه‌ها متعاقب چالش با ویروس آنفلوانزا H9N2، شدت موارد مختلف پاتولوژیک مشاهده شده

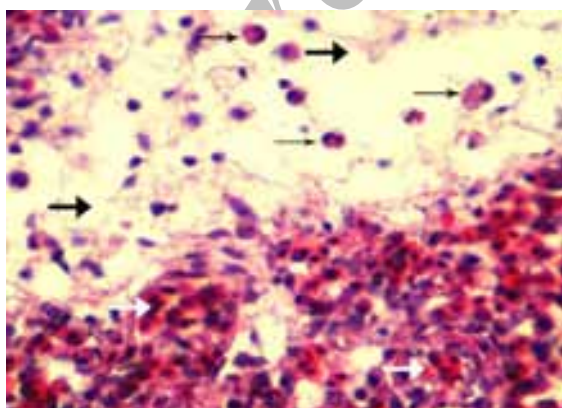
جدول ۱ - درجه‌بندی شدت موارد مختلف پاتولوژیک مشاهده شده متعاقب عفونت تجربی با ویروس آنفلوانزا H9N2

انفصالت بافت پوششی	ندول‌های غضروفی	از بین رفتن مژه‌ها	آپوپتوز	نکروز	خونریزی	سلول‌های آماسی	ادم	پرخونی	موارد پاتولوژیک	
									درجه‌بندی	شدت آسیب
عدم مشاهده	عدم مشاهده ندول‌های غضروفی	عدم از بین رفتن مژه‌ها	عدم مشاهده آپوپتوز	عدم مشاهده نکروز	عدم مشاهده خونریزی	عدم مشاهده سلول‌های آماسی	عدم مشاهده ادم	عدم مشاهده پرخونی	۱	
مشاهده آنفالصال در حداکثر تا ۲۵ درصد از سلول‌های بافت پوششی مورد مشاهده در ۱۰ میدان میکروسوکوبی	مشاهده ندول‌های غضروفی حداکثر در ۳ میدان از ۱۷ میکروسوکوبی	از بین رفتن مژه‌ها ۲۵ حداکثر در ۳ میدان از ۱۷ میکروسوکوبی	آپوپتوز حداکثر در ۲۵ سلول‌های مشاهده شده شده در ۱۰ میدان میکروسوکوبی	نکروز حداکثر در ۲۵ سلول‌های مشاهده شده شده در ۱۰ میدان میکروسوکوبی	خونریزی حداکثر در ۲۵ سطح مشاهده شده شده در ۱۰ میدان میکروسوکوبی	مشاهده ادم اماسی حداکثر تا ۲۵ درصد از فضای میان‌باقتی شده شده در ۱۰ میدان میکروسوکوبی	مشاهده ادم اماسی حداکثر تا ۲۵ درصد از فضای میان‌باقتی شده شده در ۱۰ میدان میکروسوکوبی	مشاهده ادم اماسی حداکثر تا ۲۵ درصد از فضای میان‌باقتی شده شده در ۱۰ میدان میکروسوکوبی	پرخونی ۲۵ حداکتر تا ۲۵ درصد از میکروگ‌های مشاهده شده در ۱۰ میدان میکروسوکوبی	۲
مشاهده آنفالصال در ۲۵ تا ۵۰ درصد از سلول‌های بافت پوششی مورد مشاهده در ۱۰ میدان میکروسوکوبی	مشاهده ندول‌های غضروفی در ۳ تا ۱۲ میدان از ۱۷ میکروسوکوبی	از بین رفتن مژه‌ها ۲۵ تا ۵۰ در حداکتر ۴ میدان از ۱۷ میکروسوکوبی	آپوپتوز حداکتر در ۲۵ تا ۵۰ درصد از سلول‌های مشاهده شده شده در ۱۰ میدان میکروسوکوبی	نکروز حداکتر در ۲۵ تا ۵۰ درصد از سلول‌های مشاهده شده شده در ۱۰ میدان میکروسوکوبی	خونریزی حداکتر در ۲۵ تا ۵۰ درصد از سطح مشاهده شده شده در ۱۰ میدان میکروسوکوبی	مشاهده ادم اماسی حداکتر تا ۲۵ درصد از فضای میان‌باقتی شده شده در ۱۰ میدان میکروسوکوبی	مشاهده ادم اماسی حداکتر تا ۲۵ درصد از فضای میان‌باقتی شده شده در ۱۰ میدان میکروسوکوبی	مشاهده ادم اماسی حداکتر تا ۲۵ درصد از فضای میان‌باقتی شده شده در ۱۰ میدان میکروسوکوبی	پرخونی در ۲۵ تا ۵۰ درصد از میکروگ‌های مشاهده شده در ۱۰ میدان میکروسوکوبی	۳
مشاهده آنفالصال در ۵۰ تا ۷۵ درصد از سلول‌های بافت پوششی مورد مشاهده در ۱۰ میدان میکروسوکوبی	مشاهده ندول‌های غضروفی در ۳ تا ۱۲ میدان از ۱۷ میکروسوکوبی	از بین رفتن مژه‌ها ۵۰ تا ۷۵ در حداکتر ۶ میدان از ۱۷ میکروسوکوبی	آپوپتوز حداکتر در ۵۰ تا ۷۵ درصد از سلول‌های مشاهده شده شده در ۱۰ میدان میکروسوکوبی	نکروز حداکتر در ۵۰ تا ۷۵ درصد از سلول‌های مشاهده شده شده در ۱۰ میدان میکروسوکوبی	خونریزی حداکتر در ۵۰ تا ۷۵ درصد از سطح مشاهده شده شده در ۱۰ میدان میکروسوکوبی	مشاهده ادم اماسی حداکتر تا ۵۰ درصد از فضای میان‌باقتی شده شده در ۱۰ میدان میکروسوکوبی	مشاهده ادم اماسی حداکتر تا ۵۰ درصد از فضای میان‌باقتی شده شده در ۱۰ میدان میکروسوکوبی	مشاهده ادم اماسی حداکتر تا ۵۰ درصد از فضای میان‌باقتی شده شده در ۱۰ میدان میکروسوکوبی	پرخونی در ۵۰ تا ۷۵ درصد از میکروگ‌های مشاهده شده در ۱۰ میدان میکروسوکوبی	۴
مشاهده آنفالصال در ۷۵ تا ۱۰۰ درصد از سلول‌های بافت پوششی مورد مشاهده در ۱۰ میدان میکروسوکوبی	مشاهده ندول‌های غضروفی در ۹ تا ۱۲ میدان از ۱۷ میکروسوکوبی	از بین رفتن مژه‌ها ۷۵ تا ۱۰۰ در حداکتر ۹ میدان از ۱۷ میکروسوکوبی	آپوپتوز حداکتر در ۷۵ تا ۱۰۰ درصد از سلول‌های مشاهده شده شده در ۱۰ میدان میکروسوکوبی	نکروز حداکتر در ۷۵ تا ۱۰۰ درصد از سلول‌های مشاهده شده شده در ۱۰ میدان میکروسوکوبی	خونریزی حداکتر در ۷۵ تا ۱۰۰ درصد از سطح مشاهده شده شده در ۱۰ میدان میکروسوکوبی	مشاهده ادم اماسی حداکتر تا ۷۵ درصد از فضای میان‌باقتی شده شده در ۱۰ میدان میکروسوکوبی	مشاهده ادم اماسی حداکتر تا ۷۵ درصد از فضای میان‌باقتی شده شده در ۱۰ میدان میکروسوکوبی	مشاهده ادم اماسی حداکتر تا ۷۵ درصد از فضای میان‌باقتی شده شده در ۱۰ میدان میکروسوکوبی	پرخونی در ۷۵ تا ۱۰۰ درصد از میکروگ‌های مشاهده شده در ۱۰ میدان میکروسوکوبی	۵

و گلbul های قرمز در فضای داخل برونش نیز مشخص بود (شکل شماره های ۹، ۱۰ و ۱۱). در مطالعه آسیب شناسی بافتی نای جوجه های تیمار شده با ویروس آنفلوانزای تحت تیپ H9N2، ادم، پرخونی، خونریزی، ارتراح شدید سلول های آماسی و تخریب وسیع در مخاط آن مشاهده گردید (شکل شماره ۱۲). خونریزی شدید و حضور انبوه سلول های جدا شده و ریزش یافته بافت آسیب دیده مخاط نای که دچار نکروز و یا آپوپتوز شده بودند، در فضای داخل نای مشخص بود (شکل شماره ۱۳).



شکل شماره ۱- نمای ریزیینی از قسمتی از ریه و پرده جنب جوجه تیمار شده با ویروس آنفلوانزای تحت تیپ H9N2. پنومونی بینابینی همراه با پرخونی و خونریزی شدید در داخل کیسه های آلوئولی در این تصویر کاملاً مشخص می باشد. ارتراح سلول های آماسی همراه با خونریزی، ادم و رسوب فیبرین باعث افزایش ضخامت پرده جنب شده است (هماتوکسیلین-افوزین، بزرگنمایی ۱۲۰*).

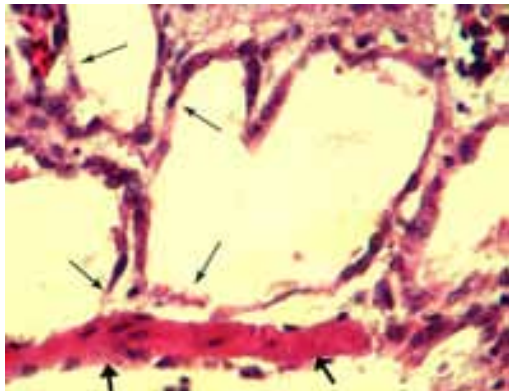


شکل شماره ۲- درشت نمایی بیشتر از قسمتی از ریه جوجه تیمار شده با ویروس آنفلوانزای تحت تیپ H9N2. به پرخونی و خونریزی شدید در داخل کیسه های آلوئولی (فلش های روشن)، ادم، نفوذ فیبرین (فلش های تیره) و همچنین ارتراح سلول های آماسی به خصوص

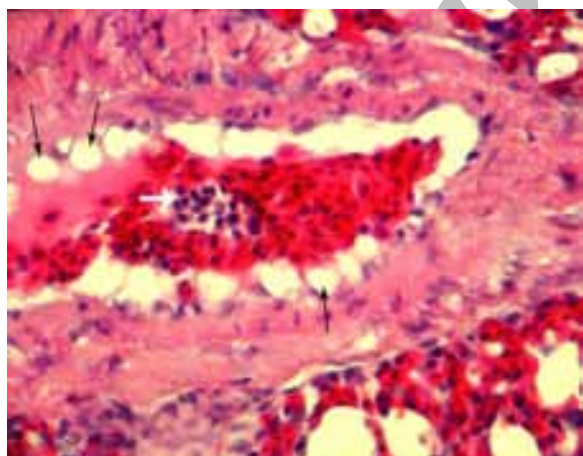
نتایج

در مطالعات آسیب شناسی بافتی ریه و پرده جنب جوجه های تیمار شده با ویروس آنفلوانزای تحت تیپ H9N2، پنومونی بینابینی منتشر تواً با پرخونی و خونریزی شدید در داخل کیسه های آلوئولی و پلورزی وسیع مشاهده شد (شکل شماره ۱). در نمای ریزیینی، پرخونی و خونریزی شدید در داخل کیسه های آلوئولی، ادم، نفوذ فیبرین و همچنین ارتراح سلول های آماسی به خصوص هتروفیل ها در فضای بینابینی بافت ریه مشاهده شد (شکل شماره ۲). در بررسی های میکروسکوپیک، تشکیل ندolu های غضروفی Cartilaginous nodules در قسمت های مختلف پارانشیم ریه به صورت کانون های مجزا و پراکنده قابل مشاهده بود (شکل شماره ۳). در مشاهدات ریزیینی، خونریزی در فضای داخل پارابرونش و مرگ سلولی، تخریب، انفال و ریزش سلول های پوششی و همچنین تخریب و از بین رفتن مژه ها Deciliation در آن به وضوح قابل مشاهده بود. همچنین نکروز رشته های عضلانی در زیر بافت پوششی جلب توجه می نمود (شکل شماره های ۴، ۵ و ۶). در مطالعات آسیب شناسی عروق پارانشیم ریه علاوه بر پرخونی شدید، سلول های آماسی فراوانی نیز در فضای داخل عروق مشاهده شد. آسیب آندوتیال به شکل تورم حاد Ballooning سلولی که منجر به درز نراسیون باللونی شکل degeneration شده بود، کاملاً مشخص بود (شکل شماره ۷). همچنین تجمع سلول های آماسی در اطراف عروق آسیب دیده پارانشیم ریه همراه با ادم و نفوذ شدید فیبرین در این ناحیه قابل ملاحظه بود (شکل شماره ۸). از لحاظ میکروسکوپی، برونشیت شدید به صورت ارتراح فراوان سلول های آماسی در مخاط برونش، تخریب گسترده مژه ها در سطح بافت پوششی، همراه با خونریزی و تخریب شدید مخاط در پی مرگ سلول های مخاطی جلب توجه می نمود. تجمع واریزه های بافت آسیب دیده همراه با سلول های آماسی

شکل شماره ۵- نمای ریزبینی با درشتنمایی بیشتر از دیواره پارابرونsh در جوجه تیمار شده با ویروس آنفلوانزای تحت تیپ H9N2. از بین رفتن بافت پوششی در کیسه الونوی (فلش نازک) و همچنین تغییرات ناشی از نکروز در رشته‌های عضلانی (فلش ضخیم) واقع در زیر بافت پوششی پارابرونsh مشخص می‌باشد (هماتوکسیلین-اوزین، بزرگنمایی *۴۰۰).

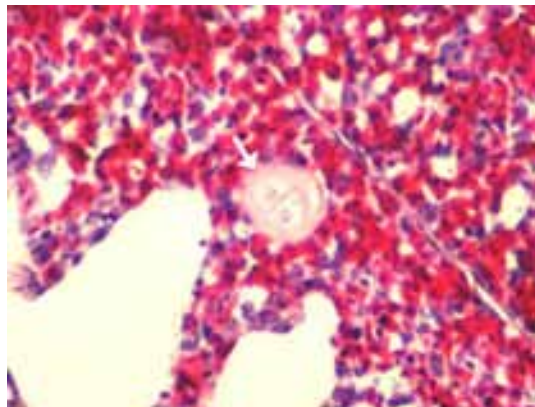


شکل شماره ۶- نمای ریزبینی دیگری با درشتنمایی بیشتر از دیواره پارابرونsh در جوجه تیمار شده با ویروس آنفلوانزای تحت تیپ H9N2. تغییرات ناشی از مرگ سلول در بافت پوششی کیسه‌های الونوی (فلش‌های باریک) و همچنین در رشته‌های عضلانی (فلش‌های ضخیم) واقع در زیر بافت پوششی پارابرونsh به صورت پیکنوزه شدن هسته و افزایش اوزینوفیلی سیتوپلاسم کاملاً مشخص می‌باشد (هماتوکسیلین-اوزین، بزرگنمایی *۴۰۰).

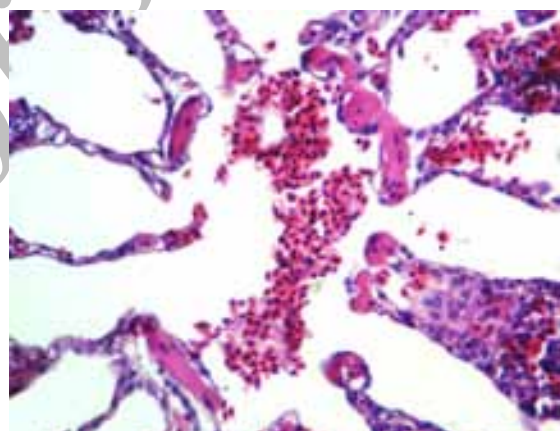


شکل شماره ۷- نمای ریزبینی از مقطع عرضی یکی از عروق پارانشیم ریه جوجه تیمار شده با ویروس آنفلوانزای تحت تیپ H9N2. پرخونی شدید و همچنین حضور سلول‌های آماسی (فلش روشن) در فضای داخل رگ، آسیب آندوتیلیال (فلش‌های نازک) در صورت تورم حاد سلولی (Acute cell swelling) (Ballooning degeneration)، کاملاً مشخص می‌باشد (هماتوکسیلین-اوزین، بزرگنمایی *۴۰۰).

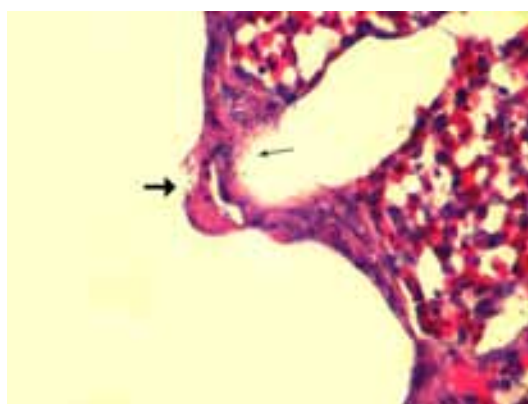
هتروفیل‌ها (فلش‌های نازک) در فضای بینایینی بافت ریه (هماتوکسیلین-اوزین، بزرگنمایی *۴۰۰).



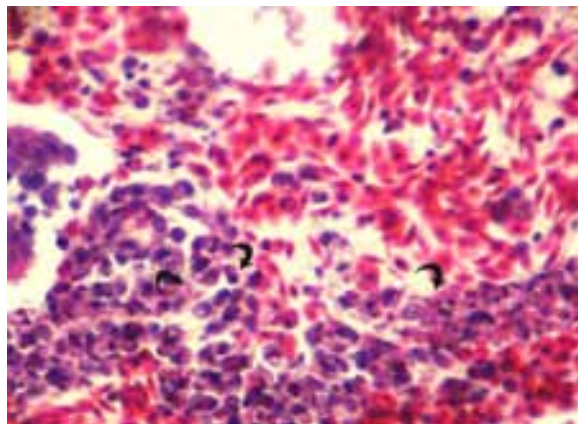
شکل شماره ۳- نمای ریزبینی با درشتنمایی بیشتر از قسمتی از ریه جوجه تیمار شده با ویروس آنفلوانزای تحت تیپ 2 H9N2. شکل-گیری ندول‌های غضروفی (فلش) در پارانشیم ریه مشخص می‌باشد (هماتوکسیلین-اوزین، بزرگنمایی *۴۰۰).



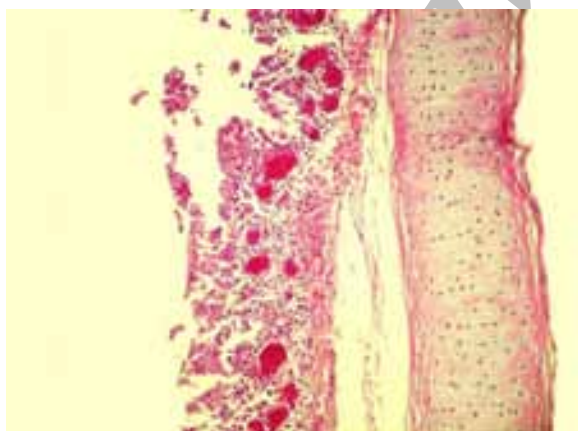
شکل شماره ۴- نمای ریزبینی از پارابرونsh در ریه جوجه تیمار شده با ویروس آنفلوانزای تحت تیپ 2 H9N2. خونریزی در فضای داخل پارابرونsh، تخریب، انفصال و ریزش سلول‌های پوششی به فضای داخل پارابرونsh و همچنین نکروز رشته‌های عضلانی در زیر بافت پوششی در این تصویر کاملاً مشخص می‌باشد (هماتوکسیلین-اوزین، بزرگنمایی *۲۵۰).



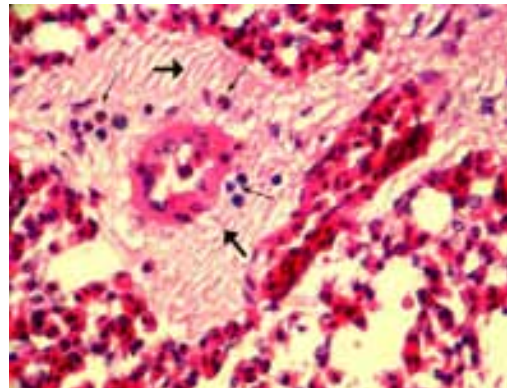
قسمت‌های سطحی برونش اولیه در جوجه تیمار شده با ویروس آنفلوانزا تحت تیپ H9N2 . تخریب مژه‌ها (فلش نازک) در سطح بافت پوششی و سلول آپووتیک (فلش خمیده) با مشخصات نمادین آپوپتوز به شکل متراکم و قطعه قطعه شدن کروماتین در این تصویر کاملاً مشخص می‌باشد (هماتوکسیلین-اوزین، بزرگنمایی $\times ۴۰۰$).*



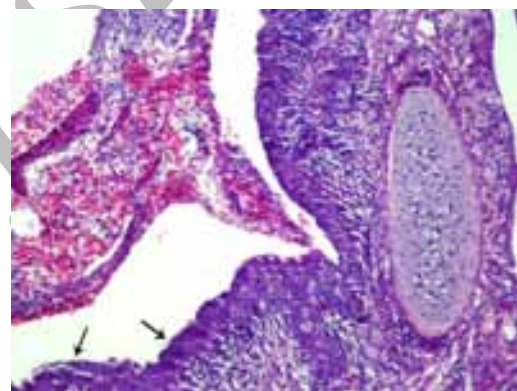
شکل شماره ۱۱- درشت‌نمایی بیشتر از واریزه‌های بافت پوششی آسیب دیده مخاط و خونریزی در فضای داخل برونش اولیه در جوجه تیمار شده با ویروس آنفلوانزا تحت تیپ H9N2 . حضور گلبول های قرمز در اثر خونریزی و سلول‌های نکرووتیک جدا شده و ریزش یافته بافت پوششی مخاط برونش و همچنین حضور فراوان سلول‌های آپووتیک (فلش‌های خمیده)، در میان واریزه‌های داخل برونش کاملاً مشخص می‌باشد (هماتوکسیلین-اوزین، بزرگنمایی $\times ۶۰۰$).



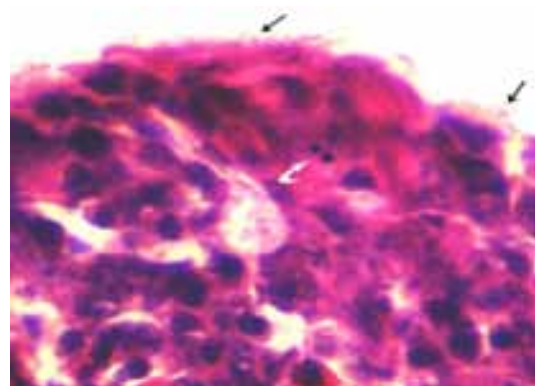
شکل شماره ۱۲- نمای ریزبینی از قسمتی از دیواره نای جوجه تیمار شده با ویروس آنفلوانزا تحت تیپ H9N2 . ادم، پرخونی، خونریزی، ارتشاگ شدید سلول‌های آماسی و تخریب وسیع مخاط نای در این تصویر مشاهده می‌گردد (هماتوکسیلین-اوزین، بزرگنمایی $\times ۱۲۰$).*



شکل شماره ۸- نمای ریزبینی از قسمتی از ریه جوجه تیمار شده با ویروس آنفلوانزا تحت تیپ H9N2 . ادم و نشت فیبرین (فلش‌های ضخیم) به همراه تجمع سلول‌های آماسی (فلش‌های نازک) در اطراف یکی از عروق آسیب دیده پارانشیم ریه مشخص می- باشد (هماتوکسیلین-اوزین، بزرگنمایی $\times ۴۰۰$).*



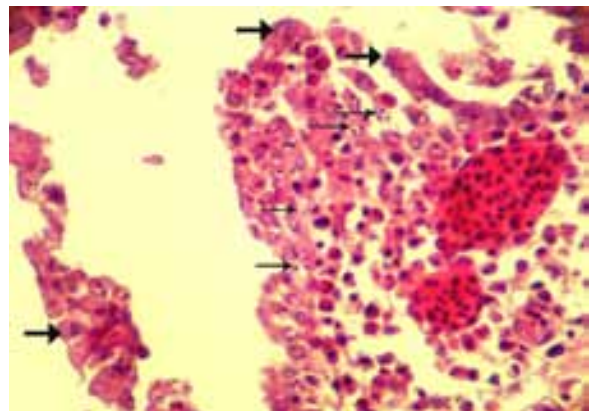
شکل شماره ۹- نمای ریزبینی از فضای داخل و قسمتی از مخاط دیواره برونش اولیه در جوجه تیمار شده با ویروس آنفلوانزا تحت تیپ H9N2 برونشیت شدید به صورت ارتشاگ فراوان سلول‌های آماسی در مخاط برونش، تخریب گستردگ مژه‌ها (فلش‌ها) در سطح بافت پوششی همراه با خونریزی و تخریب شدید مخاط و تجمع واریزه‌های بافت آسیب دیده، سلول‌های آماسی و گلبول‌های قرمز در فضای داخل برونش مشخص می‌باشد (هماتوکسیلین-اوزین، بزرگنمایی $\times ۱۲۰$).*



شکل شماره ۱۰- نمای ریزبینی با درشت‌نمایی بیشتر از

بحث

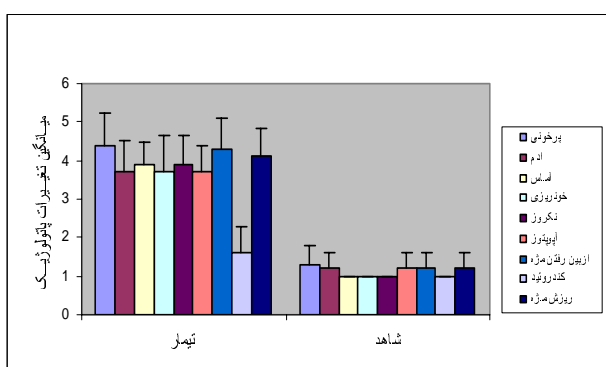
بروز تغییرات عروقی و سلولی شدید در ریه از موارد بسیار مهم مشاهده شده متعاقب ایجاد عفونت تجربی با ویروس آنفلوآنزا H9N2 بوده است، به طوری که عوارض حاصله به صورت ادم، پرخونی، نکروز، آپوپتوز و ارتashاج سلول‌های تک هسته‌ای و هتروفیل‌ها قابل مشاهده بودند. برایدون و همکاران در سال ۲۰۰۵ بر اساس مطالعات خودشان بیان داشتند که بدنبال عفونت با ویروس آنفلوآنزا سلول‌های آماسی جهت غلبه بر عفونت وارد دستگاه تنفس فوکانی شده و با آزاد کردن سیتوکین‌ها و واسطه‌های آماسی موجب تغییرات عروقی و سلولی وسیع می‌گردند، که در این میان ماکروفازها و سلول‌های تک هسته‌ای منبع اصلی این ترکیبات بیوشیمیائی بوده و با تولید و آزاد سازی سیتوکاین‌های فاکتور نکروز دهنده تومور آلفا و ایترولوکین یک و کموکاین‌ها، موجب افزایش فعالیت سلول‌های تک هسته‌ای و هتروفیل‌ها می‌گردند. حضور سیتوکین‌هایی نظیر فاکتور نکروز دهنده تومور آلفا و ایترولوکین یک باعث بیان ملکول‌های اتصالی وابسته به خروج سلول‌های تک هسته‌ای و هتروفیلی گشته و از طرفی واسطه‌های آماسی نیز تغییرات عروقی را القا می‌نمایند. نتایجی که باربر و همکاران سال ۲۰۰۰، سارز و همکاران سال ۲۰۰۲ و برایدون و همکاران سال ۲۰۰۵ از نظر بررسی تغییرات عروقی و سلولی داشتند با نتایج بررسی حاضر همخوانی دارد و به این ترتیب می‌توان اذعان داشت که بدنبال عفونت با ویروس آنفلوآنزا تحت تیپ H9N2 تغییرات عروقی و سلولی در پی کنش و واکنش سیتوکین‌ها و واسطه‌های آماسی اتفاق افتاده است که اولین عامل تحریک کننده در این میان ویروس و آنتی‌ژن‌های وابسته به آن بوده است (۳، ۴ و ۱۶). خونریزی در ارگان‌های مختلف و بهخصوص بافت ریه از دیگر مسائل قابل بحث در این مطالعه می‌باشد. در این مطالعه، تغییرات دز نرأتیو سلول‌های آندوتیال و گاهی از بین رفتن کامل آن‌ها مشاهده شد



شکل شماره ۱۳- درستنمایی بیشتر از تخریب شدید مخاط و ریزش آن به فضای داخل نای در جوجه تیمار شده با ویروس آنفلوآنزا تحت تیپ H9N2. خونریزی شدید و حضور ابیوه سلول‌های جدا شده و ریزش یافته بافت آسیب دیده مخاط نای که دچار نکروز (فلش‌های ضخیم) و یا آپوپتوز (فلش‌های نازک) شده‌اند در این تصویر مشخص می‌باشد (هماتوکسیلین-ائوزین، بزرگنمایی ×۴۰).

نتایج آنالیز آماری داده‌ها

بر اساس آزمون تحلیل واریانس چند متغیره یک طرفه (MANOVA)، به‌طور کلی بین تغییرات پاتولوژیک ایجاد شده در بافت ریه و ویروس آنفلوآنزا H9N2، رابطه معنی‌داری وجود دارد ($P < 0.05$). بر اساس آزمون‌های تکمیلی انجام شده توسط آزمون تحلیل واریانس یک طرفه One-Way ANOVA (Analysis of Variance) اختلاف معنی‌داری در مورد هر یک از موارد پاتولوژیک مورد مشاهده بین گروه شاهد و تیمار وجود داشت ($P < 0.05$ ، لکن از لحاظ ایجاد ندول‌های غضروفی، اختلاف معنی‌داری بین گروه تیمار و شاهد وجود نداشت.



نمودار ۱- مقایسه شدت انواع خصایع پاتولوژیک مشاهده شده در سیستم تنفسی گروه تیمار با گروه شاهد

۲۰۰۱ احتمالاً ویروس از طریق القاء فعال‌سازی کاسپاز ۳ و تشکیل FADD^۳ و کاسپاز ۸ از طریق PKR باعث آبشار فسفاتازی ELF2 و فعال شدن (Nuclear factor NF-kB of immunoglobulin k locus in B cells) القاء رونویسی ژن‌های آپوپتوتیک مانند FAS و P53 باعث فعال شدن کاسپاز BAX می‌گردد که در نهایت باعث فعال شدن کاسپاز ۹ و بروز آپوپتوز در سلول‌های اپی‌تلیوم تنفسی می‌گردد (۱۳ و ۱۷). بایستی توجه داشت که عوامل وابسته به ویروس نیز نقش موثری در القاء مرگ سلولی دارند. به طوری که مطالعات موریس و همکاران نشان می‌دهد که نورآمینیداز NA ویروسی در محیط‌های کشت MDCK از طریق ایجاد واکنش اکسیداتیو و فعال شدن مسیر ROS در اثر بیان بیش از حد NA.HA و NP شدن منجر به شکل‌گیری کانال‌های غشاء میتوکندری و آزاد شدن سیتوکروم C و فعال شدن کاسپاز ۹ می‌گردد. تمامی مکانیسم‌های بیان شده توسط موریس و همکاران در ارتباط با تغییرات شدید آپوپتوز در اپی‌تلیوم تنفسی، بیان و توجیح تغییرات سیتوپاتیک ویروسی را در مطالعه حاضر ساده‌تر و قابل فهم می‌نماید. اما تکروز بافت اپی‌تلیوم نای، آلوثول‌های ریوی و آندوتلیوم عروقی در عفونت ویروسی بسیار چشمگیر بود که دلیل آن احتمالاً آزاد شدن سیتوکین‌ها و آنزیم‌های متعدد می‌باشد. ادوارد و همکاران، مانگول و همکاران سال ۲۰۰۷ در این راستا مطالعاتی داشتند که نقش سیتوکین‌هایی نظیر فاکتور نکروز دهنده تومور آلفا و واسطه‌های آمسی آزاد شده به‌دبیال عفونت با ویروس آنفلوانزای تحت تیپ‌های H1N1، H3N2 و H5N1 را بیان داشتند. این همان موضوعی است که در نتایج مطالعه حاضر نیز بیان شده و نشانگر نقش القائی ویروس آنفلوانزای تحت تیپ H9N2 در نکروز اپی‌تلیوم تنفسی می‌باشد. نتایج معنی‌دار ایشان و مطالعه حاضر (۰/۰۵ <P) گویای نقش القاگر تحت تیپ‌های نام برده در مرگ سلولی و آسیب‌های بافتی می‌باشد (۶).

که دلیل اصلی این تغییرات در توافق با نتایج مطالعات سایر محققین می‌تواند به علت گرایش ویروس به سلول‌های آندوتلیال و القاء اثرات سیتوپاتیک در این سلول‌ها باشد که به صورت الگوی نکروز و آپوپتوز مشاهده می‌گردد و به این دلیل گاهی شاهد خونریزی وسیعی در پارانشیم ریه جوچه‌های مبتلا در بررسی مشاهده شد. ایتو و اسکولنر و همکاران سال ۲۰۰۲ مشاهده شد. ایتو و همکاران سال ۲۰۰۱ تاثیر ویروس فرانکفورت و همکاران سال ۲۰۰۱ آنفلوانزا را در سلول‌های آندوتلیال عروق بافت کبد و آنفلوانزا را در سلول‌های آندوتلیال عروق بافت کبد و کلیه جوچه‌های مبتلا به دنبال عفونت تجربی با ویروس‌های تحت تیپ H5N1, H7N7 و H5N3^۲ مورد بررسی قرار دادند و به نقش پروتئین‌های ویروسی نظری NS1^۲ در القاء آپوپتوزیس سلول‌های آندوتلیال و سایر سلول‌های بافتی اشاره نموده و نتایج معنی‌داری را در این رابطه به‌دست آورده‌اند (۷، ۹ و ۱۴). تکیه بر مرگ سلول‌های آندوتلیال و نقش این ویروس در القاء مرگ سلولی به دنبال توجیه خونریزی در بافت ریه که در نتایج بررسی حاضر نیز مشهود است، بحث در مورد اساس، دلائل و توجیه مرگ سلولی را می‌طلبد، چرا که علاوه بر سلول‌های آندوتلیال سلول‌های اپی‌تلیوم تنفسی در نای و ریه نیز این تغییرات را نشان داده‌اند. در این پیرامون نیز مطالعات گستره‌ای توسط هیشنو، آیتو و اسکالتس انجام گردیده که نتایج به‌دست آمده گویای اثرات القائی ویروس آنفلوانزا در بروز آپوپتوز بوده است. ایشان بیان داشتند که تحریک گیرنده‌های پروتئین کینازی شامل تیروزین کیناز، ترئونین کیناز، میتوژن کیناز و ترشح پیامبرهای ثانویه که به عنوان عامل مثبت در ترجمه بعضی از ژن‌های خاص عمل می‌کنند، باعث فعال شدن یک سری از پروتئازهای سیستئینی (آنزیم‌های کاسپازی) می‌گردد که این آنزیم‌ها در آغاز و اجرای تغییرات آپوپتوتیک نقش تعیین کننده‌ای دارند (۸ و ۹). طبق نظر ایشان واورزr و همکاران سال ۲۰۰۴ و راوی و همکاران سال

activated protein kinase) می‌باشد و ممکن است ROS^۴ نیز به عنوان پیامبر ثانویه عمل نماید (۴). در مطالعه حاضر آپوپتوز سلول‌های برونشیول‌های اولیه در برخی موارد قابل رویت بود که در مقایسه با گروه شاهد تغییرات معنی‌داری را نشان داد. شاید بیان مسیر القاء آپوپتوز که در مطالعات برایدون و همکاران مطرح شده است توجیه مناسبی برای این تغییرات باشد. لکن بایستی توجه داشت که مسیرهای متعددی در بروز مرگ سلولی متعاقب عفونت با ویروس آنفلوانزا وجود دارد و شناخت این مسیرها نیاز به تحقیقات وسیعی دارد.

تشکر و قدردانی

با تشکر از همکاران حوزه معاونت پژوهشی
دانشگاه آزاد اسلامی تبریز.

منابع

- ۱- دوستtar، i. (۱۳۸۳) مطالعه آزمایشی آپوپتوزیس القاء شده توسط ویروس عامل بیماری بورس عفونی جوجه‌ها با استفاده از متod تشخیصی TUNEL و میکروسکوپ الکترونی. پایان‌نامه دکترای تخصصی دانشگاه تهران، دانشکده دامپرشکی.
- ۲- حبل‌الورید، م. سهرا بی‌حدودست، ا. پوربخش، س. ا. و غلامی، م. ر. مطالعه هیستوپاتولوژیک ضایعات H9N2 ناشی از تزریق داخل وریدی تحت تیپ H9N2 ویروس آنفلوانزای تیپ A در جوجه، ۱۳۸۲، شماره ۵۵ صفحه ۴۱-۵۱.
- 3- Barber G.N., (2001): Host defense viruses and apoptosis. Cell Death Differ. 8: 113-26.

4 - Reactive oxygen species

و (۱۱). ندول‌های متعدد وابسته به غضروف یا ندول‌های غضروفی در مطالعات میکروسکوپی این بررسی نیز قابل مشاهده بود که نتایج معنی‌داری در مقایسه بین دو گروه شاهد و تیمار از این لحاظ وجود نداشت اما توجیه حضور متعدد آن‌ها در بعضی از مقاطع بافتی حائز اهمیت می‌باشد. سارانگو و ریدل در سال ۱۹۸۵ نظرات متعددی را در این زمینه بیان داشته و دلیل آن را آمبولی‌های کندروسیتی منشاء گرفته از بافت‌های غضروفی غیر طبیعی دانسته‌اند و توجیه نموده‌اند که هیچ ارتباطی بین حضور این ندول‌ها و ضایعات پاتولوژیک وجود ندارد (۱۵ و ۱۶). از بین رفت‌نمشخص و کانونی اپی‌تلیوم مژه‌دار از دیگر یافته‌های نتایج بررسی حاضر بود که در این مورد کاترینو همکاران در سال ۲۰۰۶ مطالعه‌ای بر روی اثرات ویروس آنفلوانزای تحت تیپ H3N2 انجام داده‌اند و به این نتیجه رسیده‌اند که اساس ضایعات در سلول‌های مژه‌دار اپی‌تلیوم تنفسی انسان و پرندگان به علت حضور آلفا-۶-۲-اسید سیالیک می‌باشد که به عنوان گیرنده برای ویروس جهت اتصال و ورود به سلول عمل می‌نماید. آنها همچنین توانسته بودند که ویروس را در پنوموسیت‌های II بافت ریه ردیابی و حضور آن را در آن سلول‌ها تائید نمایند. در مطالعه حاضر نیز ریزش اپی‌تلیوم تنفسی مژه‌دار و آسیب پنوموسیت‌ها قابل مشاهده بود که مقایسه نتایج این مطالعه با نتایج تحقیقات کاترین، نشانگر تاثیر ویروس آنفلوانزای تحت تیپ H9N2 در سلول‌های مژه‌دار و پنوموسیت‌ها می‌باشد (۵). برای دونو همکاران بیان داشته‌اند که بروز آپوپتوز در سلول‌های اپی‌تلیوم برونشیول‌های ریوی در عفونت با ویروس آنفلوانزا می‌تواند در اثر کاهش میزان mRNA وابسته PKR(Double-stranded (ds) RNA-dependent protein kinase) به همراه فسفوریلاسیون eIF2 (Enhances translation initiation factor-2) باشد. اما بایستی توجه داشت که در سلول‌های اپی‌تلیوم تنفسی تولید CCL5 در ارتباط با نقش P38 و MAPK/ERK/JNK (Mitogene

- 4- Brydon WA, Edward J, Morris S.(2005): Role of apoptosis and cytokines in influenza Virus morbidity. *Microbiology Reviews.* 29: 837-850.
- 5- Catherine IT, Wendy SB, Maria CZ and Raymond JP.(2006): Infection of human airway epithelium by human and avian strain of influenza A virus. *Journal of Virology.* 80: 8060- 8068.
- 6- Edvard W A, Brydon T, Smith H and Sweet C.(2003): Influenza A virus-induced apoptosis in bronchiolar epithelial (NCL-H292) cells limits pro-inflammatory cytokine release. *Journal of General Virology.* 84:2389-2400.
- 7- Frankfurt OS, Krishan A. (2001): Identification of apoptotic cells by formamide – induced DNA denaturation in condensed chromatin. *Histochem cytochem.* .49: 369-78.
- 8- Hinshaw V., Olsen Ch,Dybdah1-Sissoko N.Evans D. (1994): Apoptosis Mechanism of cell killing by influenza A and B viruse. *J Virol.* 68: 3667-3673.
- 9- Ito, Toshihiro, Kobayashi, Yoshiyasu, Morita, Takehito, Horimoto Taisuke., and Kawaka, Yoshihiro, (2002): Virulent influenza a viruses induces apoptosis in chickens. *Virus.* 84: 27-35.
- 10- Liu, J et al., (2003): H9N2 influenza viruses prevalent in poultry in China is phylogenetically distinct from A/quail/ Hong kong/G1/97 prsumed to be the donor of the internal protein genes of the H5N1 Hong Kong/ 97virus. *Avian Pathology.* 32: 552- 560.
- 11- Mangkol U, Rungrueng K, Pilaipan P. (2007): Apoptosis and pathogenesis of avian influenza A (H5N1) virus in human. *Emerging infectious disease.* 13:708-712.
- 12- Morris J, Nightingale S, and Harry S, Clive S. (2005): Influenza A Virus induced apoptosis is a multifactorial process: Explanting reverse genetics to elucidate the role of influenza A virus proteins in virus – induced apoptosis.Joutrnal of Virol 335: 198-211.
- 13- Ravi R, Bedi GC, Engstrom LW, Zeng W,Mookeriyee B,Gelinas C et al. (2001): Regulation of death receptor expression and TRAIL/Apo2L- induced apoptosis by NF-KB. *Nat cell Biol* 3: 409-16.
- 14- Schultuz C, StaceyDS, Neumann N, Kawaoka G, Shaw H. (2002): Influenza Virus NS1 protein Induces Apoptosis in cultured cells.Virginia. 75: 17-22.
- 15- Sarango J.A and Riddell C. (1985): A study of cartilaginous nodules in the lungs of domestic poultry. *Avian Disease.*29:116- 127.
- 16- Suarez, D.L., and Schultz- Cherry, S. (2000): Immunology of avian influenza Virus. A Review of Avian Influenza Virus.24: 269-283.
- 17- Wurzer J, Walter E, Pleschka C, Berberich S. (2004): NF-KB- dependent Induction of Tumor Necrosis Factor – related Apoptosis-inducing ligand (TRAIL) and (Fas / Fasl) is crucial for Efficient Influenza virus propagation. *J Biol.* 30: 30931-30937.